

が考えられるが本項では高温酸化による非酸化性元素, Cu, Sn, As および S の鋼片表面濃縮状況について調べた。

実験は各 charge のリム部を air 中で 1300°C, 2 時間加熱後スケール直下の表面層を分析し上述諸元素の濃縮量を求めた。

また表面層の鏡検も行つたが特にこれら諸元素が異相として析出してはおらず上表の濃縮量とも併せ考慮してこれら諸元素が疵発生の直接的原因になつてゐるとは思われない。但し Cu, Sn 等が鋼中に存在すればその含有量に比例してスケール生成量が増加するといわれている。然ならば charge 間の Cu, Sn 等の微少なる差異が間接的に疵発生率に影響する事も考えられるので次の実験を行つた。

Z 24 を mother alloy としてこれに Cu, Sn および As を夫々 0.1~0.9% まで添加した試料を作成、これを前述の酸化実験と同様な処理を行い、添加諸元素が酸化に如何に影響するかを調べた。この結果 Cu は実験範囲内の含有量では、その量に比例して酸化增量は減少、Sn は増加、As は特に一定の傾向は示さない。この事から今の場合各 charge の Sn 含有量の微少なる差異が鋼の酸化傾向助長の一原因、従つて疵発生率の差異の一原因という間接的影響も推測できようが、これだけでは明言できない。

この他ガス分析をも行つたが特に O₂ の影響とも思われぬ。

4) その他の実験について

a) 酸化後の表面組織について

酸化後の表面組織を検鏡すると前述の如く特に非酸化性元素が異相としては存在していないが、加熱時間の増加と共に地鉄の全面酸化と平行して粒界酸化が進行しているのが明らかに認められる。従つて加熱時間の増加による疵発生率の増加は粒界酸化に基因し、前述の酸化增量の多いものは粒界酸化を起し易い鋼質であると推定される。

b) 過熱について

圧延前に鋼材が過熱を受ければ当然割れの原因になる。実際の加熱炉では過熱を受ける事はまずあり得ないと考えられるが念のため各 charge の過熱温度を求めた。1350~1450°C の温度に加熱後 Austin の方法によつて腐蝕鏡検した。Z 45 は約 1400°C 附近で過熱組織を示したが他は 1450°C でも過熱を受けない。実際の加熱炉では 1400°C の高温加熱を受ける事はまずあり得ず今の場合過熱が疵の原因ではない。しかし過熱温度の低

Table 4.

Charge	Grain size
Z 24	0.3
" 33	0.3
" 45	1.5
" 47	0.4

い鋼質のものが実際に過熱を受けないでも疵が出来易いという事も考えられる。

c) 結晶粒度について
圧延時の粒度が問題になるので、1200°C における粒度を真空加熱法によつて求めた。Table 4 にこれを示す

疵発生率の高い Z 45, 47 は明らかに粒度が大である。

なお疵の一原因になると思われる清浄度も測定したが疵の多い charge のものが一般に清浄度は悪いが余りこの傾向は明確ではなかつた。

IV. 総括

以上を総括すると、

コーナー鱗状疵の根本原因是圧延前の酸化特に粒界酸化である。

これを前提として第二義的に圧延と鋼質が疵の原因になつてゐる。圧延関係としては、本概要では省略したが鋼片の形状不良、孔型噛込の際の泳ぎ、鋼片の温度不均一があげられる。鋼質としては高温で酸化し易く高温結晶粒の小さい、更に過熱温度の低い傾向のものが疵発生容易である。

(28) セミキルド鋼の表面気泡と縦疵とについて

(Sub-surface Blow Holes of Semi-killed Steel Ingots and Seams of Products)

Takayuki Kinoshita, et alii.

八幡製鉄所技術研究所

工 加藤 健・工 今井純一

○木下孝之・清水正晴

I. 序言

セミキルド鋼は多量生産用鋼種として重要なものであるが、その製鋼造塊法或いは鋼塊の内部状況については Tenenbaum の可成り詳細な報告、その他若干の文献があるとはいえ、我々はその作業法或いは応用分野の確立のために更に多くの知識が必要である。このために我々はセミキルド鋼に関して種々の方面から研究を行つてゐるが、ここにその一部として、鋼塊の表面気泡の状況

と鋼片の縫庇との関係について報告する。

II. 実験の範囲

60t 塩基性平炉で熔製された $C=0.15\sim0.24\%$, $Mn=0.34\sim0.52\%$ の鋼に対し取鍋における脱酸剤の種類および投入量を種々変化せしめ、鋳型においては注入順で真中の指定鋼塊のみは全然脱酸剤を用いずに、種々の脱酸程度の試験鋼塊を作り、これより ingot の corner sample を採つて気泡の分布状況を調べ、更にこの鋼塊を 200 mm 角に分塊し、そのまま連続ロールで 95 mm 角の billet とし、bloom および billet からは鋼塊の各部位相當にする試料をとつて、その断面をマクロ腐蝕して縫庇状況を調査し、表面気泡の分布状況との関連を求めた。

試験鋼塊以外の鋼塊には、鋳型で適宜 shot Al を用いて脱酸を調整したが、この中の試験鋼塊と隣接する鋳型に注入されたもの一部は、矢張り試験鋼塊と同様に処理し、shot Al が気泡の分布、および鋼片縫庇におよぼす影響を調べた。

鋳型は底面 610 mm 角の下広鋳型で、勿論 open top 上注であり、鋼塊単重は約 4t である。鋳型使用回数、塗料、温度、注入速度等の諸条件は極力一定とした。

III. 実験の結果とその検討

(1) 表面気泡概況

鋳型で shot Al を全然用いなかつた場合、一般に鋼塊上部には肌に近い管状気泡が発生し、その他には小さい表面気泡が発生するが、取鍋における脱酸度の強い場合程管状気泡発生圏の範囲は狭くなり、表面気泡は少くなる。

鋳型で shot Al を用いて脱酸調整を行つたものでは管状気泡が激減するが、表面気泡は必ずしも減少しない。

(2) 表面気泡と鋼片縫庇

middle の corner sample の表面気泡を Fig. 1 の

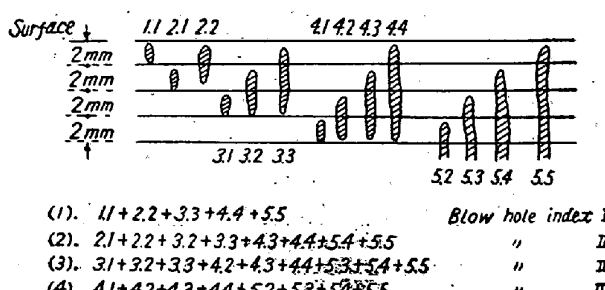


Fig. 1. Classification of position of blowholes.

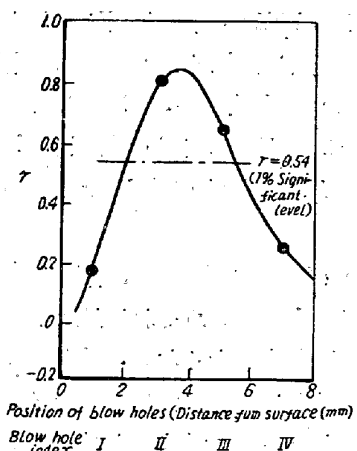


Fig. 2. Relation between the correlation coefficient of blowhole index and seams of billet and position of blowholes.

如く分類し、各 group に属する単位辺長当たりの気泡数を各気泡指数とし、この corner sample を採取した各々の鋼塊よりの鋼片の corner sample 採取位置に相当する試料の縫庇数と、各気泡指数との相関係数を求めた処、Fig. 2. に示した如く、鋼塊の肌から 2~6 mm 特に 3~4 mm 附近の気泡が鋼片の縫庇に関係が深い事が推察された。

鋼塊の bottom 近くでは表面気泡は一般に肌からやや遠く、また粒状の小気泡であり、鋼片の縫庇に関係深い位置の気泡は少ないので、Fig. 3. に示した如く、その部分に相当する鋼片の縫庇も少い。

また鋼塊の top 附近は、大きく長い管状気泡が存在

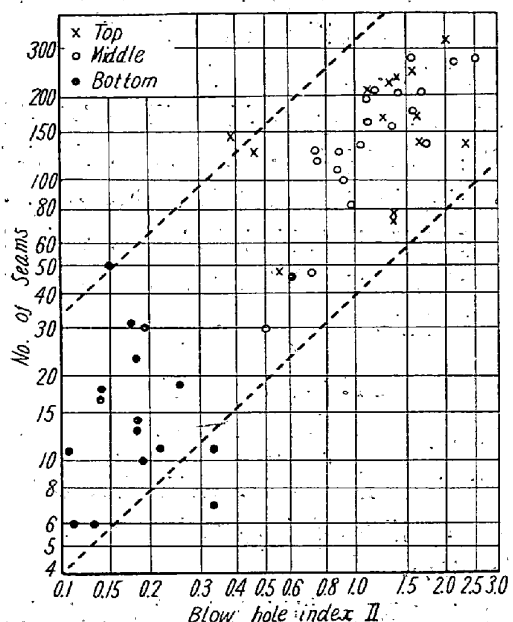


Fig. 3. Relation between blowhole index I and seams of billet.

するがその数は middle の表面気泡の数と大差ない。従つて Fig. 3 に示した如く、この部分に相当する鋼片の綫庇も middle と大差ない。しかしその庇の深さは middle, bottom に比べて遙かに深く、 billet となつてもなお 1mm 以上の深さの庇となつているものが多いた。

(3) bloom の綫庇と billet の綫庇

billet の綫庇は bloom のそれに比べれば遙かに浅くなり、かつその数も若干少くなる。bloom の深い庇は billet になると消失して終うためであろう。bottom 試料では庇が大体少ないので、減少は目立たないが、top 試料よりも middle 試料の方が減少が著しいのは、top 試料では前述の如く深い庇が多いので消失するものが少いからであろう。

(4) shot Al

深い綫庇の発生を防止するには、管状気泡の発生を防歴せねばならない。取鍋における脱酸が不足で、管状気泡が発生する場合は、注入の最後に shot Al を投入する事によつて、その発生を防歴できる。このため深い庇を著しく減少させる事ができる。しかしこの場合、表面気泡は必ずしも減少しない。深い綫庇の発生をも防歴せんとすれば、注入中引続き shot Al を投入して行く必要があるが、これは取鍋における脱酸度を強化すると同じである。

(5) 脱酸

この billet において大部分 1mm 以下となる様な深い庇をも防歴せんとすれば、前述の如く、肌から 2~6 mm、特に 3~4 mm 附近に表面気泡が出現せぬ様にしなくてはならない。

表面気泡を肌から 2mm 以内に出現せしめる様に調節する事は困難であるから、更に奥の方に発生せしめるか、或いは全然発生せぬ様にしなくてはならない。前者の場合には頭部膨張の抑制が問題となり、後者ではパイプが深く、大きくなる事が惧れられるが、これ等の点については別に報告の予定である。

IV. 結論

(1) スケールオフの進行と、気泡状況の変化等についてなお検討の必要はあるが、鋼塊の肌から 2~6 mm 特に 3~4 mm 附近に存在する気泡が bloom, billet の綫庇となり易い。

(2) 頭部に発生する管状気泡は深い綫庇の原因となる。取鍋における脱酸が不足の場合には、鋳型で注入の最後に shot Al を加える事によつて、その発生を防歴

できる。

(3) bloom の綫庇は billet になると浅くなり、かつその数も若干減少する。管状気泡によるものを除けばこの billet では綫庇は殆んど 1mm 以下となる。この庇をも防歴せんとすれば、更に脱酸度を強めて表面気泡の発生を防歴するか、或いは更に脱酸度を弱めて表面気泡発生位置を肌から遠ざけねばならないが、これ等の点については別報の予定である。

(4) なお塗料 splash 注入諸条件と表面気泡との関係、或いは表面気泡発生の防歴に関するパイプについての検討その他なお多くの問題があるが、これ等についても順次報告の予定である。

(29) 造塊作業の研究 (VI)

(熔鋼の凝固温度附近に於ける脱酸反応)

No. 1—Si の脱酸及び非金属介在物)

Study on Ingot-Making Practice (VI)

(Deoxidizing reactions at the temperature near the solidifying point of molten steel.

No. 1. Deoxidation of silicon and non-metallic inclusions)

Shizuya Maekawa and Yoshitaka Nakagawa.

株式会社日本製鋼所室蘭製作所

前川静弥・中川義隆

I. 緒言

一般に熔鋼中における Si, Mn 等脱酸性元素の脱酸限は温度の降下と共に低下する。従つて或る温度で熔鋼中のこれら脱酸性元素と酸素どが平衡を保つていても温度が降下するにつれて脱酸反応が進行し更にまた熔鋼の凝固に際して析出固相と共存残液中における合金元素の濃度差によつて逐次残存母液中にこれら元素の濃縮が起りその間の平衡が破れて再び新たな脱酸反応が進行して夫々脱酸生成物を生ずる。

而して熔鋼が鋳型に注入されて完全に凝固するまでに要する時間は鋼塊が大きくなる程長くまた鍛造に当つては可成り高温で長時間保持する場合がある。従つてこの間に上記の原因によつて脱酸反応は可成り進行するものと推定される。しかし、この時期における介在物の浮揚離脱は非常に困難であり新たに生ずる脱酸生成物は鋼中に残留して砂庇や頭微鏡的介在物の原因となる公算が大である。

筆者等は先に Si キルド鋼の鋳型内における Si の脱酸反応について報告したが茲では熔鋼の凝固温度附近に